

**FLUTUAÇÕES NO CONSUMO DE CO₂ ATMOSFÉRICO PELA ALTERAÇÃO DAS
ROCHAS NA BACIA AMAZÔNICA DESDE 1900**

J. Mortatti¹, J.-L. Probst², Y. Tardy³

1. Centro de Energia Nuclear na Agricultura, Universidade de São Paulo, Piracicaba, SP, Brasil

2. Centre de Géochimie de la Surface, CNRS, Strasbourg, France

3. ORSTOM-Instituto Francês de Pesquisa Científica para o Desenvolvimento e Cooperação, França; CGS/ULP Institut de Géologie de l'Université Louis Pasteur, França; Instituto Astronômico e Geofísico, e Centro de Energia Nuclear na Agricultura, Universidade de São Paulo, Brasil

ABSTRACT

The reconstitution of the atmospheric CO₂ consumption by the rock weathering in the Amazon Basin during the last century was carried out with the HCO₃⁻ concentration in the main channel of Solimões/Amazon river and tributaries, previously obtained during the Campex Project. The relationship between HCO₃⁻ flux and the measured or estimated values of discharge was involved in the proposed model. The specific flux of atmospheric CO₂ consumed by rock weathering in the basin was about 3.1×10^5 moles/y.km². The interannual CO₂ variations show about 8.2% average increasing trends in that consumption, which is comparable the discharge increase estimated for the Solimões/Amazon river, during the same studied period. These results show the importance of the continental chemical erosion on the global carbon cycle, as responsible for atmospheric CO₂ consumption.

RESUMO

Dados de concentração de HCO₃⁻, no canal principal do rio Solimões/Amazonas e em seus principais tributários, recentemente obtidos através do Projeto Camrex, foram utilizados na reconstituição do consumo de CO₂ atmosférico pela alteração das rochas da Bacia Amazônica, no decurso do presente século. O modelo proposto envolveu o relacionamento entre o fluxo de HCO₃⁻, transportado pelo rio, e os dados de descarga do rio Solimões/Amazonas, medidos ou estimados. O fluxo específico de CO₂ atmosférico, consumido durante o processo de alteração de rochas, na região, apresentou-se da ordem de $3,1 \times 10^5$ moles/a.km². As variações interanuais do consumo de CO₂ atmosférico, para o período estudado, apresentaram uma tendência de aumento em torno de 8,2%, comparável ao aumento de vazão estimada para o rio Solimões/Amazonas, durante o mesmo período. Tal ocorrência confirma a importância da erosão química continental, no ciclo global do carbono, como responsável por parte do consumo de CO₂ atmosférico.

INTRODUÇÃO

O estudo do ciclo global do carbono, particularmente nos dias de hoje, é de fundamental importância, devido à influência antropogênica sobre os ecossistemas naturais e ao consequente aumento da concentração de CO₂ na atmosfera. O transporte de carbono fluvial global (1,0 Gt C/ano), embora de dimensões reduzidas quando comparados aos reservatórios oceânicos, à atmosfera e à biosfera, apresenta-se da mesma ordem de magnitude dos fluxos de transferência de carbono entre os oceanos e atmosfera (1,8 Gt C/ano) e da queima de combustíveis e florestas (6 Gt C/ano), de acordo com Bolin et al. (1979).

Como os rios são considerados os principais agentes de transporte de carbono do continente para o oceano, tais fluxos podem ser usados para detectar as possíveis alterações a que estão sendo submetidos determinados ecossistemas, as quais poderiam afetar direta ou indiretamente o ciclo de carbono sobre os continentes.

Da fração orgânica do carbono transportado pelos rios, particulada (POC) e

dissolvida (DOC), cerca de 40% é fornecida, principalmente, pela erosão da matéria orgânica do solo e através da produção fluvial de fitoplacto. Os restantes 60% apresentam-se sob a forma de carbono inorgânico particulado (PIC) e dissolvido (DIC), derivados, principalmente, da erosão química e exportados como fração dissolvida, com predominância de HCO₃⁻; uma menor parte do DIC é suprida pela oxidação da matéria orgânica, sendo observadas, dessa forma, as interações entre as fases orgânica e mineral do ciclo do carbono.

A bacia Amazônica, com cerca de 6.000.000 km², composta basicamente por floresta tropical úmida, é responsável pelo escoamento de $5,5 \times 10^3$ km³ de água por ano, aproximadamente 15% do total global (Oltman et al., 1964). O total anual médio precipitado varia entre 2000 e 2400 mm/a, mas regiões situadas a noroeste da bacia chegam a apresentar 3500 mm/a; já, a leste da região andina, pode atingir até 7000 mm/a. De acordo com Villa Nova et al. (1976) e Salati et al. (1979), 55% do total

precipitado na bacia é reciclado via evapotranspiração, enquanto que 45% é escoado. A temperatura média anual oscila em torno de 25 a 26°C.

O canal principal do rio Solimões/Amazonas tem cerca de 2000 km de comprimento, no trecho que compreende as estações de Vargem Grande (alto Solimões) e Obidos (baixo Amazonas). Os valores médios mínimos e máximos (15 anos), para as descargas medidas na estação de Obidos, foram respectivamente 100.000 a 220.000 m³/s (Richey et al., 1989).

A bacia Amazônica é caracterizada pela diversidade de formações geológicas, distribuídas, segundo Stallard & Edmond (1983), em quatro principais zonas morfoestruturais: os escudos pré-Cambrianos, ao norte e ao sul, com rochas ígneas e metamórficas; a Cordilheira dos Andes, a leste, com predominância de rochas sedimentares carbonatos e evaporitos; e a Depressão Amazônica, em seqüência, para o centro da bacia, com depósitos fluviais pleistocênicos.

As diferenças entre os diversos tipos de rochas, associadas com as diferentes zonas morfoestruturais estão diretamente relacionadas com a qualidade das águas, observada na bacia de drenagem. O transporte de material dissolvido e particulado pelos rios é fortemente influenciado pela composição litológica do substrato da bacia, como pode ser observado em Gibbs (1967) e Stallard & Edmond (1983).

O objetivo principal do presente trabalho é, através dos recentes dados de HCO₃⁻, obtidos para a região Amazônica, reconstituir as flutuações do consumo de CO₂ atmosférico, ocorridas durante as alterações das rochas predominantes na bacia de drenagem (principalmente silicatos e carbonatos), através das flutuações de descarga do rio Amazonas à Obidos, desde o começo do século, e o seu relacionamento com o fluxo de HCO₃⁻, estimado para a região.

PRODUÇÃO DE CARBONO INORGÂNICO DISSOLVIDO

A produção de carbono inorgânico dissolvido (principalmente HCO₃⁻) é derivada a partir das reações do ácido carbônico sobre os minerais, sendo, em seguida, transportado em solução pelos rios (Garrels & Mackenzie, 1971; Holland, 1978; Berner et al., 1983; Tardy, 1986; Meybeck, 1987 e

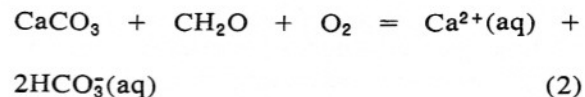
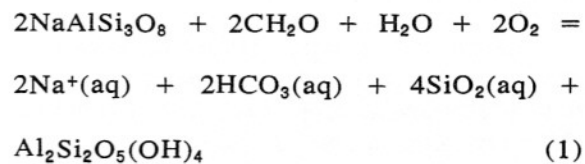
Probst, 1990).

As rochas matrizes e os materiais parentais das alterações são principalmente constituídos de:

- sais, comuns aos evaporitos: NaCl, KCl, CaSO₄, MgSO₄, ...;
- carbonatos, comuns às rochas sedimentares: CaCO₃, MgCO₃, ...;
- betumes e carvão, associados aos sulfetos de ferro, nas rochas sedimentares carbonatadas: C, CH₂O, FeS, ...;
- silicatos diversos: quartzo, feldspatos, micas, argilas (esmectita, caulinita e ilita), constituindo a fração detritica das rochas sedimentares,
- silicatos comuns aos granitos, migmatitos, gnaisses, e as rochas vulcânicas ácidas, básicas e ultrabásicas: quartzo, feldspatos, micas, anfibolitos, piroxénios, ...;

No interior dos solos, cada um desses minerais sofre alteração, ao mesmo tempo em que se oxida a matéria orgânica e se mineraliza o carbono. Somente os carbonatos e os silicatos são concernentes da mineralização do húmus dos solos.

A título de exemplo, consideraremos aqui as duas reações principais de alteração, no que concerne aos silicatos e carbonatos, na produção de carbono orgânico dissolvido:



A alteração de materiais silicatados que constituem o essencial das rochas cristalinas e uma fração importante das coberturas sedimentares, não pode ser realizada sem a intervenção da oxidação e mineralização da matéria orgânica, para manter a pressão parcial de CO₂ na atmosfera do solo à um nível suficiente. A acidificação constante do meio é também obtida e, assim, o fluxo de alteração é mantido.

De acordo com as equações de reação (1) e (2), todos os bicarbonatos produzidos pela alteração de silicatos são derivados de CO₂ de origem atmosférica, enquanto que, durante a intemperização de carbonatos,

somente 50% do HCO_3^- em solução é originado via CO_2 atmosférico. Os outros 50% vêm da própria dissolução do carbonato.

TRANSPORTE DE HCO_3^- NA BACIA AMAZÔNICA

As concentrações de HCO_3^- , utilizadas nas estimativas de fluxo pelo canal principal do rio Solimões/Amazonas e principais tributários, foram obtidas através do Programa Camrex (Richey et al., 1985 e Devol et al., 1987), ainda em execução.

Na Figura 1, pode-se observar a evolução espacial da descarga para várias estações ao longo do canal principal, desde Vargem Grande até Obidos, e a contribuição dos principais tributários, bem como as estimativas de fluxo de HCO_3^- , em cada situação, normalizados pela vazão. Da esta-

ção de Vargem Grande até Obidos, a evolução do transporte de HCO_3^- pode ser comparada à do escoamento total: 68% do fluxo total de HCO_3^- , calculado para a estação de Obidos, tem origem na parte superior da bacia, enquanto que esta região supre apenas 30% do total da descarga Amazônica. A diferença entre o fluxo de HCO_3^- em Obidos com o fluxo calculado em Vargem Grande, já computados os fluxos de contribuição dos principais tributários - Içá, Japurá, Jutai, Juruá, Purus e Negro e Madeira - fornece um valor de $1,6 \times 10^6 \text{ t/a}$. Tal diferença representa somente cerca de 6% do fluxo total de bicarbonato exportado na bacia, o que evidencia um comportamento relativamente conservativo do mesmo na bacia de drenagem, fato esse já verificado anteriormente por Devol et al. (1987).

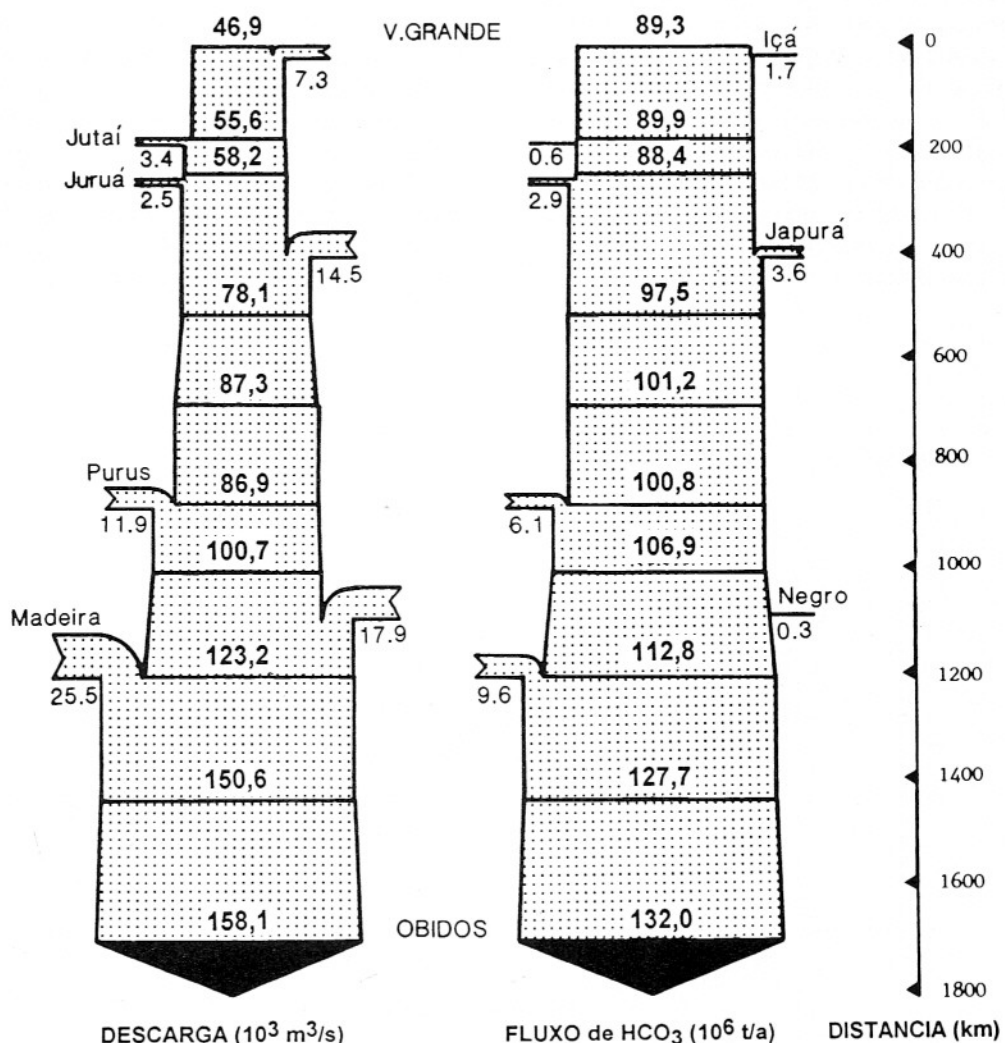


Figura 1 – Distribuição espacial de descarga e fluxo de HCO_3^- no canal principal do rio Solimões/Amazonas e principais tributários, desde a estação de Vargem Grande até Obidos.

A Figura 2 mostra o relacionamento entre as concentrações de HCO_3^- e os valores de descarga medidos no canal principal do rio Solimões/Amazonas, em diferentes estações, de Vargem Grande a Obidos, e ainda à diferentes níveis da hidrógrafa. Pode ser observado, a jusante, um decréscimo na concentração de HCO_3^- (65 a 20 mg/l) com o aumento da descarga, apresentando um padrão de diluição clássico, principalmente devido à entrada de água dos diferentes tributários. Nas estações do alto Solimões foram observados relacionamentos lineares positivos entre os teores de HCO_3^- e os respectivos valores de descarga. Entre as estações de Itapeua e Manacapuru, ocorre uma inversão na tendência observada no alto Solimões, passando, as estações do baixo Amazonas, a apresentar um relacionamento negativo entre HCO_3^- e descarga, mas ainda dentro do modelo de diluição já caracterizado. A diferenciação básica entre as tendências observadas pode ser explicada pelas diferentes origens do HCO_3^- na bacia. No caso do alto Solimões, a predominância é de bicarbonato oriundo das alterações de carbonatos andinos, enquanto que, no baixo Amazonas, além do primeiro, a oxidação da matéria orgânica é associada ao complexo rio-várzea e às alterações químicas dos silicatos.

RECONSTITUIÇÃO DO CONSUMO DE CO_2 ATMOSFÉRICO PELA ALTERAÇÃO DAS ROCHAS NA BACIA AMAZÔNICA DESDE 1900

A reconstituição das flutuações do consumo de CO_3 atmosférico pela alteração das rochas na bacia Amazônica foi estimada, tendo por base o relacionamento entre o fluxo de HCO_3^- (F_{HCO_3} , t/a) e os respectivos valores de descarga (Q , m^3/s) medidos para o canal principal do rio Amazonas, na estação de Obidos. Vários ajustes foram testados, sendo que o tradicional modelo bilogarítmico apresentou melhor resultado. Tal relacionamento pode ser observado na equação (3):

$$\log F_{\text{HCO}_3} = 0,697 \log Q + 4,485 \quad (3)$$

$$r = 0,765 \quad p = 1,6\%$$

A contribuição do CO_2 atmosférico (alteração das rochas e oxidação da matéria orgânica) para o fluxo de HCO_3^- , calculada previamente por Probst et al. (1994), de 67,4%, foi utilizada neste trabalho. Cabe salientar que tal processo de reconstituição supõe a bacia de drenagem em equilíbrio dinâmico e a não ocorrência de importantes variações na média anual da temperatura do

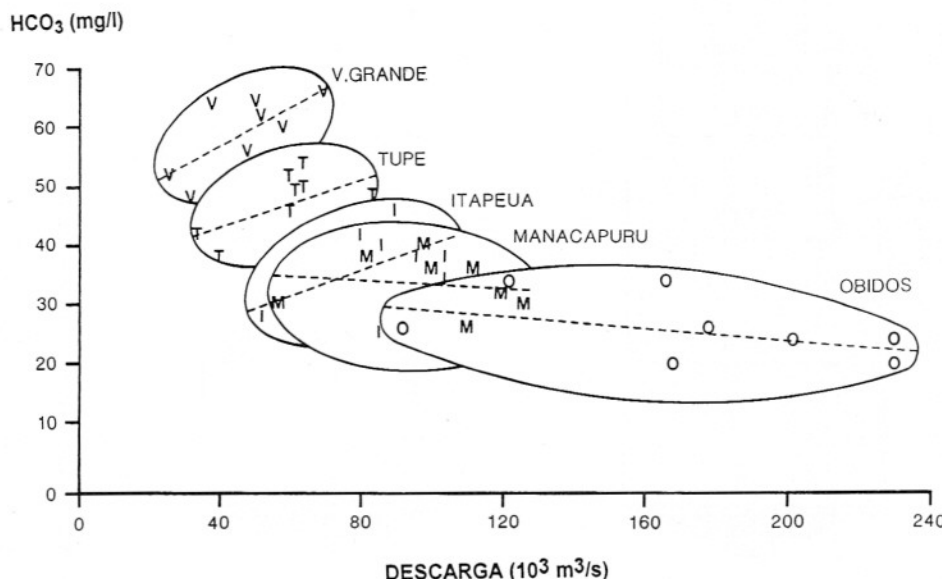


Figura 2 – Relacionamento entre valores de concentração de HCO_3^- e descarga, medidos no canal principal do rio Solimões/Amazonas, a diferentes níveis da hidrógrafa, desde a estação de Vargem Grande até Obidos.

ar. Dessa forma, através da equação (3) e da contribuição, estimada, do CO₂ atmosférico, foi possível estabelecer um relacionamento entre o fluxo específico de CO₂ atmosférico consumido (F_{CO_2} , moles/a.km²) e a descarga do canal principal do rio Amazonas em Obidos (Q, m³/s), o qual pode ser observado na equação (4):

$$F_{CO_2} = 73,08 Q^{0,697} \quad (4)$$

Com o auxílio dessa equação, as flutuações do CO₂ atmosférico, consumido

pela alteração das rochas na bacia Amazônica, pode ser reconstituída para o período de 1900 à 1985, usando as flutuações de descarga em Obidos publicadas pela UNESCO (1971, 1974, 1979 e 1985). As lacunas existentes em determinados períodos foram preenchidas de acordo com o trabalho desenvolvido por Probst & Tardy (1987), os quais relacionaram a precipitação média anual para toda a bacia de drenagem e a descarga do canal principal à Obidos.

Na Figura 3, pode-se observar a ocor-

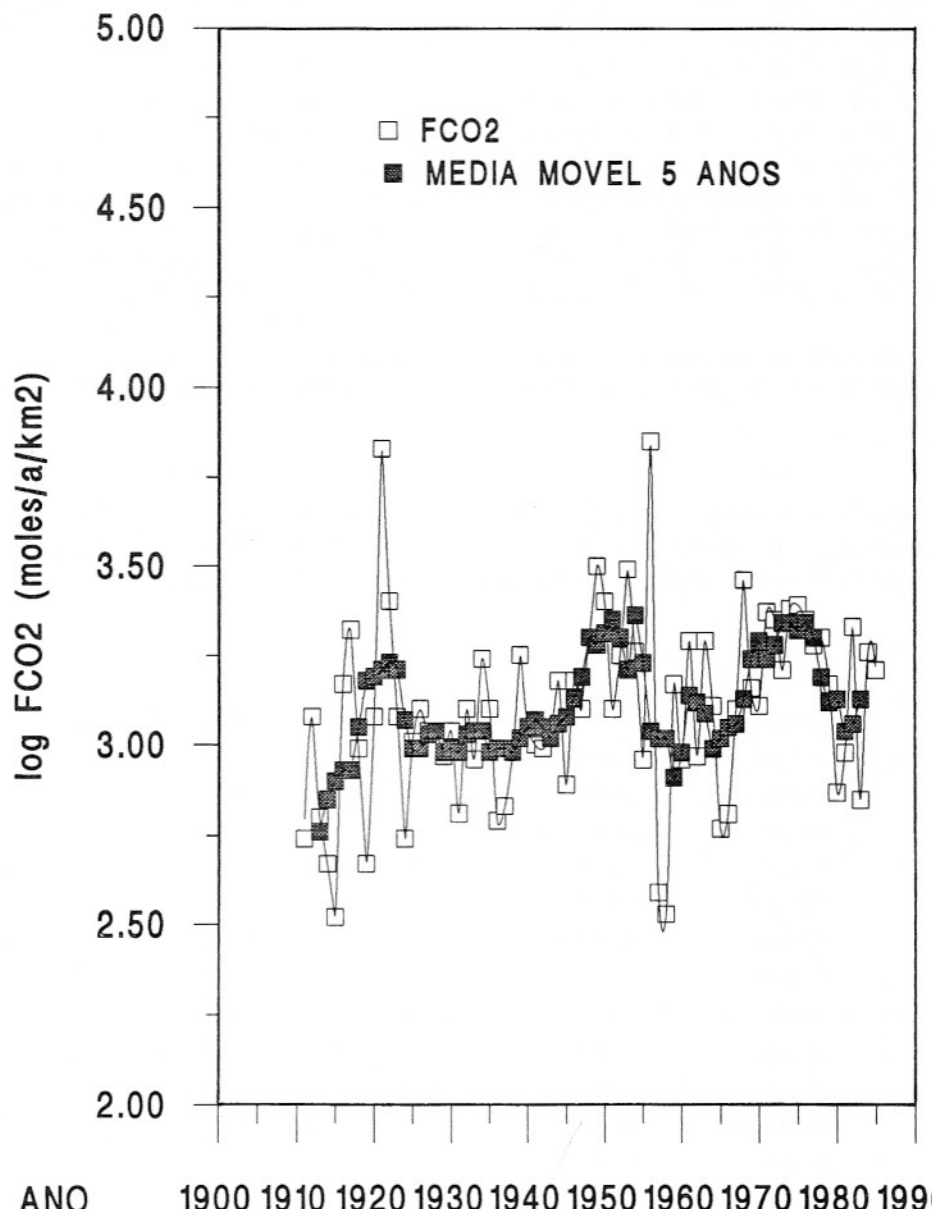


Figura 3 – Reconstituição do consumo de CO₂ atmosférico pela alteração das rochas na bacia Amazônica, desde 1900.

rência de uma tendência de aumento nas flutuações do consumo de CO₂ atmosférico pela alteração das rochas na bacia Amazônica durante os últimos 100 anos (evolução no tempo da média móvel de cinco anos). Através dela, foi possível calcular o aumento médio de CO₂ consumido durante o período estudado, como sendo em torno de 8,2%. Tal aumento é justificado pela dependência da evolução das flutuações da descarga no canal principal do rio Amazonas à Obidos, que, segundo Nkounkou (1989), durante o último século, foi de 13%. Tal fato não se apresenta de acordo com o observado por Richey et al. (1989), onde nenhuma variação significativa foi verificada para o rio Solimões à Manacapuru, nos últimos 80 anos. Cabe salientar que tal verificação não representa a bacia como um todo, visto que não considera os aportes dos dois principais tributários, Negro e Madeira, que se localizam a jusante da referida estação. Um aumento na mesma ordem de grandeza, observado para descarga do rio Amazonas à Obidos, foi estimado por Tardy et al. (1994), para os últimos 100 anos.

Com a utilização de dados de diferentes autores (Tabela 1), foi possível compara-

rar o fluxo específico de CO₂ atmosférico, consumido pela alteração das rochas na bacia Amazônica, com outras bacias de drenagem e com a média mundial a partir de Meybeck (1987). Obteve-se uma correlação linear, observada na Figura 4, com nível de significância de 0,01%, entre o logarítmico do fluxo específico de CO₂ consumido e a contribuição percentual de CO₂ atmosférico na produção de carbono inorgânico dissolvido (HCO₃⁻) (equação 5):

$$\log F_{\text{CO}_2} = 7,485 - 0,0328 \text{ CO}_2 \quad (5)$$

$$r = 0,913 \quad p = 0,01\%$$

De acordo com a equação (5), quando a bacia de drenagem é somente ocupada por rochas carbonatadas, a contribuição teórica do CO₂ atmosférico é de 50%, onde o log F_{CO₂} tende para 5,85. Esse valor é aproximadamente o mesmo que o calculado para a média mundial de áreas de carbonatos, de 5,90, observados por Meybeck (1987). Da mesma forma, para bacias de drenagem compostas, apenas, por silicatos, a contribuição do CO₂ atmosférico é de 100%, dando um valor para o log F_{CO₂}, de 4,20, muito próximo ao obtido pelo mesmo autor

Tabela 1 – Fluxo específico médio de CO₂ atmosférico, consumido pela alteração de rochas na bacia Amazônica, em comparação com fluxos específicos, obtidos para outras bacias de drenagem e com as médias mundiais e teóricas para carbonatos e silicatos.

Bacia de Drenagem	Área (km ²)	F _{CO₂} (10 ⁵ moles/a.km ²)	CO ₂ atm (%)	Ref.
Amazonas	4619000	3,100	67,4	1
Congo	3700000	0,526	74,7	2
Negro	755000	0,065	100,0	3
Ubangui	500000	0,741	75,2	2
Senegal	218000	0,150	100,0	4
Garonne	52000	4,650	55,0	5
Moselle	6847	5,430	54,4	6
Mossig	163	4,860	72,0	7
Girou	520	3,730	50,0	8
M.Mundial	149x10 ⁶	1,610	67,0	9
M.Carb.	24x10 ⁶	8,000	50,0	9
M.Silic.	59x10 ⁶	0,340	100,0	9

Referências: (1) e (2) Probst et al. (1993); calculado a partir de (3) Projeto Camrex; (4) Orange (1990); (5) Probst (1983); (6) e (7) Kattan (1989); (8) Probst (1986); (9) Meybeck (1987).

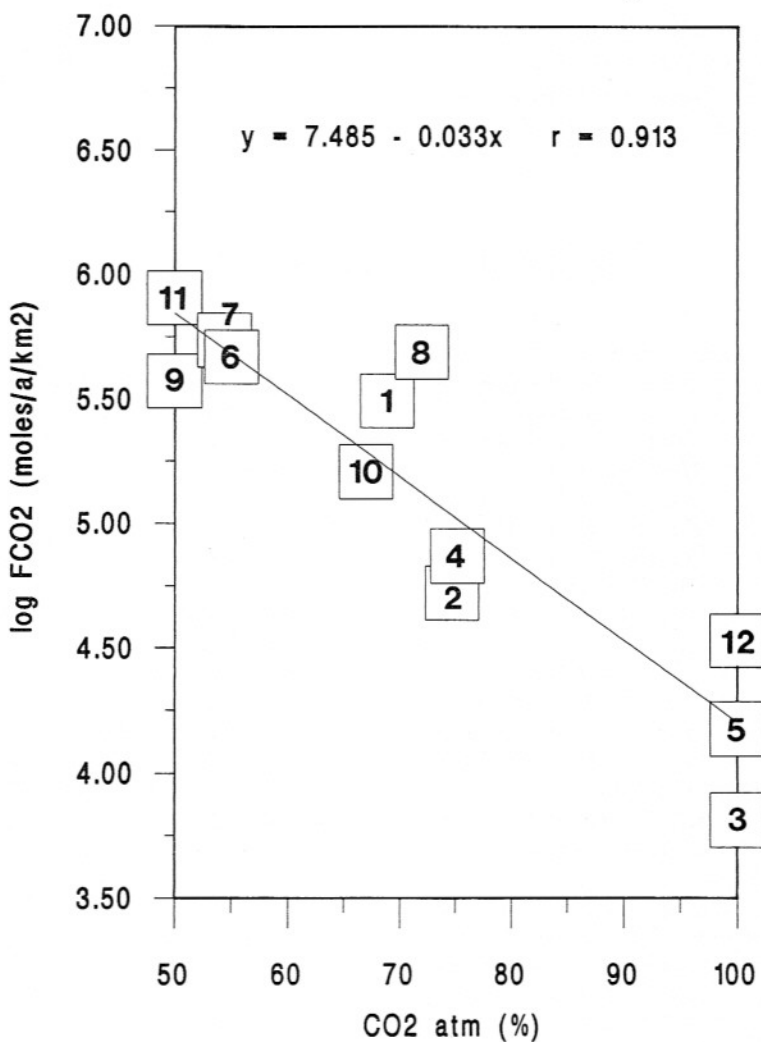


Figura 4 – Correlação linear simples entre o logaritmo do fluxo específico de CO₂ consumido pela alteração e a contribuição percentual de CO₂ atmosférico na produção de HCO₃⁻. 1. Amazonas; 2. Congo; 3. Negro; 4. Ubangui; 5. Senegal; 6. Garonne; 7. Moselle; 8. Mossig; 9. Girou; 10. M. Mundial; 11. M. Carb.; 12. M. Silic.

para a média mundial das áreas de silicatos, em torno de 4,53.

CONCLUSÃO

O modelo proposto para a estimativa do consumo de CO₂ atmosférico pela alteração das rochas na bacia Amazônica mostrou ser adequado, principalmente pelo seu relacionamento com os dados de descarga do rio Solimões/Amazonas, cujas medidas são realizadas regularmente. O modelo pode ser ainda melhorado, com a inclusão de dados de outras bacias de drenagem, que apresentem dissolução de carbonatos da ordem de 10 a 20% do fluxo de HCO₃⁻ transportado fluvialmente. Em termos de carbono inorgânico dissolvido, principalmente

bicarbonatos, o efeito tradicional de diluição ocorre normalmente na bacia de drenagem Amazônica, resultado da entrada de águas superficiais, aumentando a vazão rio abaixo, exceto para as estações do alto rio Solimões, onde um relacionamento positivo entre concentração e descarga foi verificado, provavelmente relacionado com o decréscimo de temperatura durante o período de cheia. A quantidade de bicarbonato produzida pela oxidação da matéria orgânica, estimada através do balanço de entradas e saídas na bacia, foi da ordem de 1,3 x 10⁶ t/a.

Os relacionamentos entre fluxo de HCO₃⁻ e valores de descarga médios anuais calculados ou estimados para o rio Solimões/Amazonas, em condições de equilí-

brio dinâmico, permitiram reconstruir o consumo de CO₂ atmosférico devido à alteração das rochas, na bacia Amazônica, durante o último século. Tal reconstituição

mostrou uma tendência de aumento em torno de 8,2%, comparável ao aumento de vazão anteriormente estimada para a região.

REFERÊNCIAS BIBLIOGRÁFICAS

- BERNER, R.A.; LASAGA, A.C.; GARRELS, R.M. (1983) The carbonate silicate geochemical cycle and its effect on atmospheric carbon dioxide over the past 100 million years. *Amer. J. Sci.*, **283**: 641-683.
- BOLIN, B.; DEGENS, E.T.; DUVIGNEAUD, P.; KEMPE, S. (1979). The global biogeochemical carbon cycle. In: Bolin, B., Degens, E.T., Kempe, S., Ketner, P. (eds.), *The Global Carbon Cycle*, J. Wiley & Sons, Scope, **13**: 1-56.
- DEVOL, H.A.; QUAY, P.D.; RICHEY, J.E.; MARTINELLI, L.A. (1987) The role of gas exchange in the inorganic carbon, oxygen, and ²²²Rn budgets of the Amazon river. *Limnol. Oceanogr.*, **32**(1): 235-248.
- GARRELS, R.M. & MACKENZIE, F.T. (1971) *Evolutions of Sedimentary Rocks*. New York, Norton, 397p.
- GIBBS, R.J. (1967) The geochemistry of the Amazon river system. Part 1. The factors that control the salinity and composition and concentration of suspended solids. *Geol. Soc. Amer. Bull.*, **78**: 1203-1232.
- HOLLAND, D.H. (1978) *The chemistry of atmosphere and oceans*. Wiley, Intersciences Publ., Chichester, New York, 351p.
- MEYBECK, M. (1987) Global chemical weathering of surficial rocks estimated from river dissolved loads. *Amer. J. Sci.*, **287**: 401-428.
- NKOUNKOU, R.R. (1989) Hydrogeodynamique actuelle du Congo et de l'Amazone. Cycle global de l'eau et bilan de l'érosion au cours des temps phanérozoïques (derniers 600 millions d'années). PhD Thesis, Univ. Louis Pasteur, Strasbourg, 192p.
- OLTMAN, R.E.; STERNBERG, H.D.R.; AMES, F.C.; DAVIS JR., L.C. (1964) Amazon river investigations, reconnaissance, measurements of July 1963. *Geological Survey Circular*, **486**: 1-15.
- PROBST, J.L. & TARDY, Y. (1987) Long range streamflow and world continental runoff fluctuations since the beginning of this century. *J. Hydrol.*, **94**: 289-311.
- PROBST, J.L. (1990) Géochimie et hydrologie de l'érosion continentale. Mécanismes, bilan global actuel et fluctuations au cours des 500 derniers millions d'années. Thèse d'Etat en Science, Strasbourg, vol. I, 185p and vol. II, 397p.
- PROBST, J.L.; MORTATTI, J.; TARDY, Y. (1994) Carbon river fluxes and global weathering CO₂ consumption in the Congo and Amazon river basins. *Applied Geochemistry*, **9**: 1-13.
- RICHEY, J.E.; SALATI, E.; SANTOS, U.M. (1985) Biogeochemistry of the Amazon River: an update. In: Degens, E.T., Kempe, S., Herrera, R. (eds.), *Transport of Carbon and Minerals in Major World Rivers, Part 3*. Mitt. Geol.-Palaont. Inst. Univ. Hamburg, SCOPE/UNEP sonderbd, **58**: 245-257.
- RICHEY, J.E.; MERTES, L.A.K.; DUNNE, T.; VICTORIA, R.L.; FORSBERG, B.R.; TANCREDI, A.C.N.S.; OLIVEIRA, E. (1989) Sources and routing of the Amazon river flood wave. *Global Biogeochemical Cycles*, **3**(3): 191-204.
- SALATI, E.; DALL'OLIO, A.; MATSUI, E.; GAT, J.E. (1979) Recycling of water in the Amazon basin: an isotopic study. *Water Resourc. Res.*, **15**: 1250-1258.
- STALLARD, R.F. & EDMOND, J.M. (1983) Geochemistry of the Amazon basin. 2. The influence of the geology and weathering environment on the dissolved load. *J. Geophys. Res.*, **88**: 9671-9688.
- TARDY, Y. (1986) Le cycle de l'eau. Climats, Paléoclimats et Géochimie Globale. Ed. Masson, Paris, 338p.
- TARDY, Y.; MORTATTI, J.; RIBEIRO, A.; VICTORIA, R.L.; PROBST, J.L. (1994) Fluctuations de la pluviosité, de l'écoulement et de la température sur le bassin de l'Amazone et oscillations du climat global au cours du siècle écoulé. *C.R. Acad. Sci. Paris* (no prelo).
- UNESCO (1971, 1974, 1979, 1985) *Discharge of selected rivers of the world*. Vol. III, parts I, II, III and IV, UNESCO, Paris.
- VILLA NOVA, N.A.; SALATI, E.; MATSUI, E. (1976) Estimativa da evapotranspiração na bacia Amazônica. *Acta Amazônica*, **6**(2): 215-228.